

Seminar: Physik in der Biologie

Physik des Innenohrs

Stefan Waselikowski Johannes Asal

18. Juli 2006

Übersicht

1 Der Weg des Schalls

- Aufbau des Ohrs
- Bis zum Innenohr
- Im Innenohr

2 Modelle des Innenohrs

- Wellenausbreitung
- Mathematische Grundlagen
- Modell der Basilarmembran

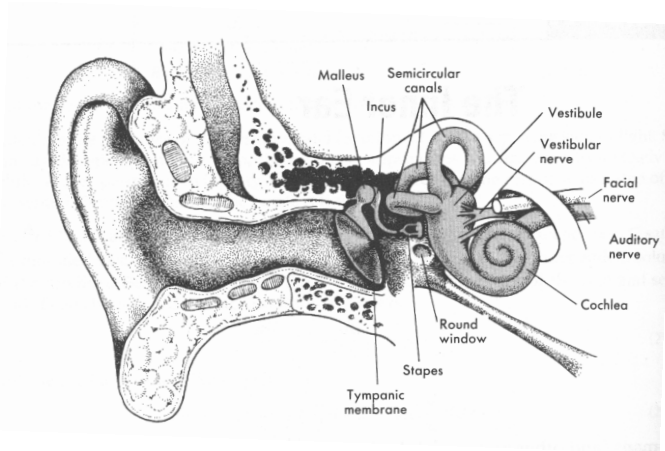
3 Verstärkung als aktiver Prozess

- Der Mechanismus des Hörens
- Modelle für Verstärkung
- Spontane Oszillationen

4 Modell für aktive Verstärkung

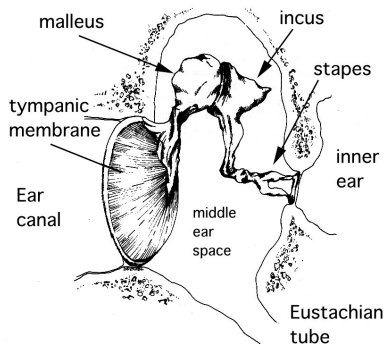
- Differentialgleichungen
- Zustandsdiagramm
- Ergebnisse

Aufbau des Ohrs



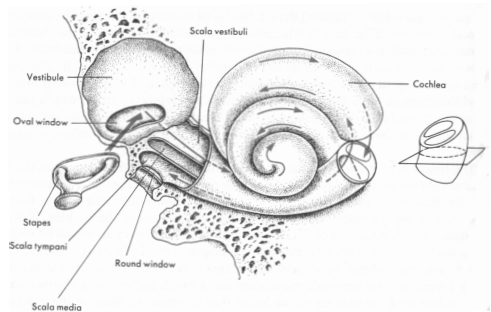
Der Weg des Schalls bis zum Innenohr

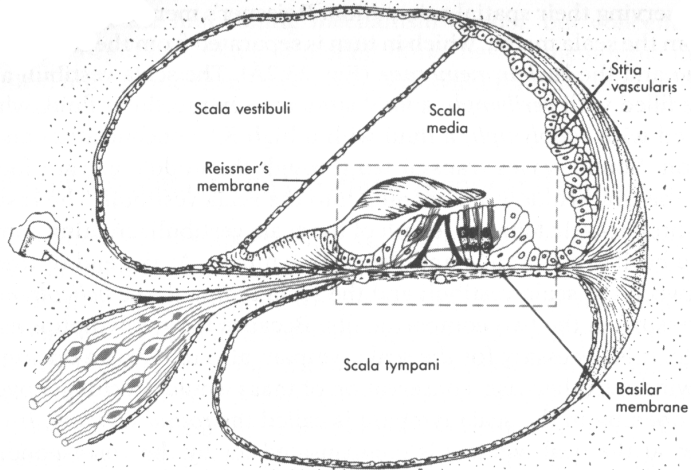
- “Einfang” durch Ohrmuschel
- Anregung des Trommelfells
- Weiterleitung per Knöchelchen
- Übertragung in Schnecke

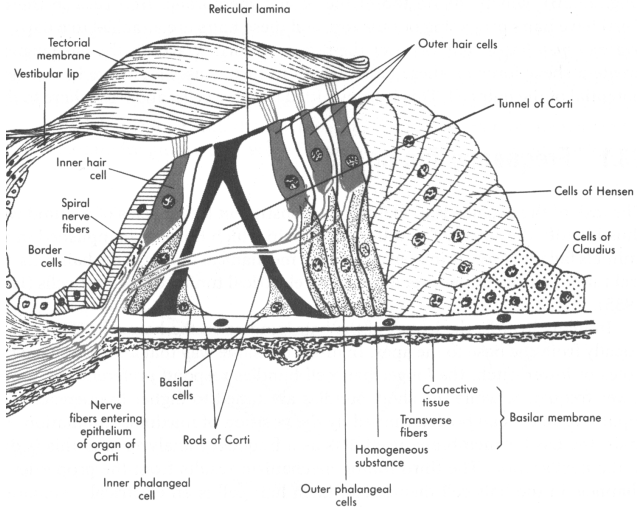


Der Weg des Schalls im Innenohr

- Übertragung in Schnecke
- Zunächst durch Scala vestibuli
- Übergang in Scala tympani
- Welle endet am Runden Fenster

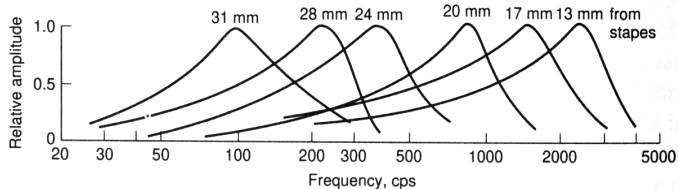






Wellenausbreitung in der Schnecke

- Basilarmembran wird angeregt
- Frequenzabhängiges Resonanzverhalten
- Hohe Frequenzen: Maximum näher am ovalen Fenster
- Tiefe Frequenzen: Maximum näher am Helicotrema



Mathematische Grundlagen

Physikalische Annahmen zur Modellbildung

- Flüssigkeit in Schnecke inkompressibel und nicht viskos

- Grundlegende Gleichungen:

$$\text{Masse: } \frac{d}{dt} \int_V \varrho dV = - \int_S \varrho (\mathbf{u} \cdot \mathbf{n}) dS = 0$$

$$\text{Impuls: } \frac{d}{dt} \int_V \varrho u_i dV = - \int_S [(\mathbf{u} \cdot \mathbf{n}) \varrho u_i + p n_i] dS$$

- Mit Divergenztheorem folgt:

$$\int_V \left(\varrho \frac{\partial u_i}{\partial t} + \varrho \nabla \cdot (u_i \mathbf{u}) + \frac{\partial p}{\partial x_i} \right) dV = 0 \quad (1)$$

und

$$\int_V \nabla \cdot \mathbf{u} dV = 0. \quad (2)$$

- Für kleine Amplituden:

$$\rho \frac{\partial \mathbf{u}}{\partial t} + \nabla p = 0 \quad (3)$$

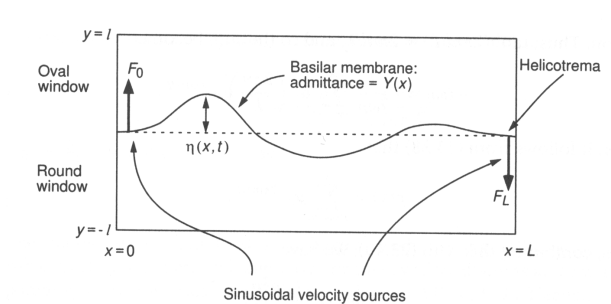
$$\nabla \cdot \mathbf{u} = 0 \quad (4)$$

- Mit $\mathbf{u} = \nabla \phi$:

$$\rho \frac{\partial \phi}{\partial t} + p = 0 \quad (5)$$

$$\nabla^2 \phi = 0 \quad (6)$$

Modell der Basilarmembran



- Unabhängige harmonische Oszillatoren
- Kopplung nur indirekt über Flüssigkeit
- Vertikale Anregung an den Enden

Differentialgleichung

$$m(x) \frac{\partial^2 \eta}{\partial t^2} + r(x) \frac{\partial \eta}{\partial t} + k(x) \eta = p_2(x, 0, t) - p_1(x, 0, t) \quad (7)$$
$$+ F_0(t) \delta(x) - F_L(t) \delta(x - L)$$

mit $F_0(t) = F_0 e^{i\omega t}$ und $F_L(t) = F_L e^{i\omega t}$.

Zusammenhang zwischen Druck und Potential:

$$\varrho \frac{\partial \phi_1}{\partial t} + p_1 = \varrho \frac{\partial \phi_2}{\partial t} + p_2 = 0 \quad (8)$$

$$\nabla^2 \phi_1 = \nabla^2 \phi_2 = 0 \quad (9)$$

Randbedingungen

Zusammenhang der Auslenkungen:

$$\frac{\partial \eta}{\partial t} = \left. \frac{\partial \phi_i}{\partial y} \right|_{y=0} \quad (10)$$

Anregung des Potentials:

$$\left. \frac{\partial \phi_1}{\partial x} \right|_{x=0} = \frac{\partial F(y, t)}{\partial t} \quad (11)$$

$$\left. \frac{\partial \phi_1}{\partial x} \right|_{x=L} = 0 \quad (12)$$

Druck der Schallwelle (Fourierentwicklung):

$$p(x, y) = \sum_{n=-\infty}^{+\infty} \alpha_n \frac{\cosh[2\pi n(y-l)/L]}{\cosh(2\pi nl/L)} e^{2\pi inx/L} \quad (13)$$

mit $\partial p / \partial y|_{y=l} = 0$.

Daraus folgt:

$$-i\omega\eta = \frac{1}{i\omega\rho} \frac{\partial p(x, 0)}{\partial y} = -\frac{1}{i\omega\rho} \sum_{n=-\infty}^{+\infty} \alpha_n \frac{2\pi n}{L} \tanh(2\pi nl/L) e^{2\pi inx/L} \quad (14)$$

Näherung

Aus der Annahme $\lambda \ll L$ folgt $\tanh(2\pi n l / L) \approx \text{sign}(n)$ und somit

$$-i\omega\eta \approx -\frac{1}{i\omega\varrho} \sum_{n=-\infty}^{+\infty} \alpha_n \frac{2\pi n}{L} |n| e^{2\pi i n x / L} \quad (15)$$

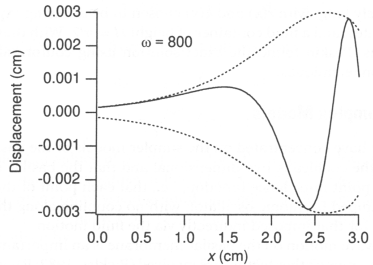
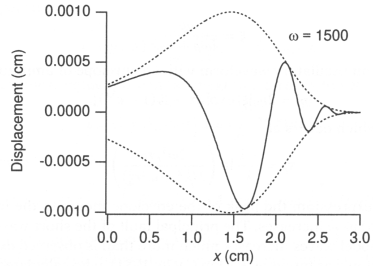
Der Amplitudenverlauf ist somit

$$|\eta| = 2\eta_0 |\xi(\omega)| \exp[\lambda x + \beta(\omega)(1 - e^{\lambda x})] \quad (16)$$

Die Position des Maximums ergibt sich zu

$$x_p(\omega) = -\frac{1}{\lambda} \ln \beta \quad (17)$$

mit $\beta(\omega) = \left(\frac{2\omega^3 \rho r_0}{\lambda(k_0^2 + \omega^2 r_0^2)} \right)$ und $\xi(\omega) = \frac{\omega \rho}{i\omega \rho + k_0}$



Zusammenfassung

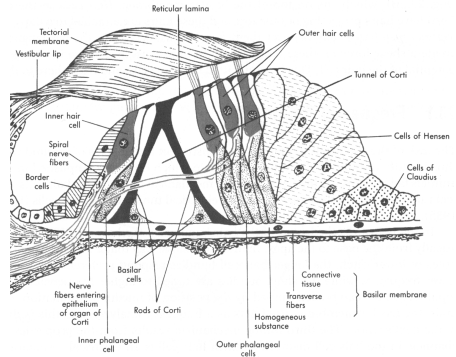
- Modell liefert qualitativ korrektes Resonanzverhalten
- Abweichung vom Experiment bei kleinen Frequenzen

⇒ Modell gibt Komplexität des Ohrs nicht vollständig wieder

Die weiteren Vorgänge des Hörprozesses folgen im zweiten Teil

Der Mechanismus des Hörens

- Schwingung der Basilarmembran induziert Flüssigkeitsbewegung
- Haarzellen registrieren Schwingung
- Unterscheidung (beim Säugetier) in **innere** (IHC) und **äußere Haarzellen** (OHC)
- Nur die IHC leiten Signale an das Gehirn



Warum Verstärkung?

- Menschliches Gehör umfasst großen Frequenz- und Dynamikbereich
- Schwache akustische Signale liegen im Bereich thermischen Rauschens
- Dämpfung durch Viskosität muss kompensiert werden

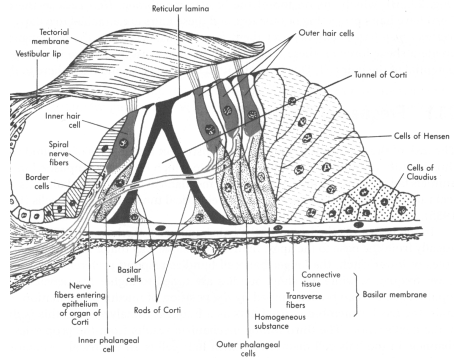
⇒ Verstärkungsmechanismus notwendig

Verstärkung durch äußere Haarzellen

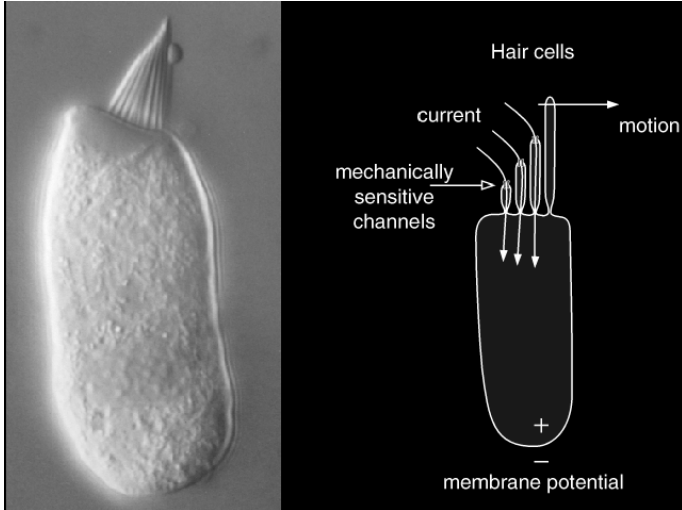
Bei Säugetieren wird eine aktive Oszillation der OHC's beobachtet:

- Äußere Haarzellen registrieren Schwingung in Flüssigkeit und schwingen gleichphasig mit
- Schwingung der Basilarmembran wird frequenzselektiv verstärkt

Wie und warum läuft dieser Prozess ab?



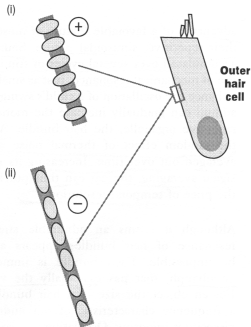
Die Haarzelle im Querschnitt



Modelle für Verstärkung

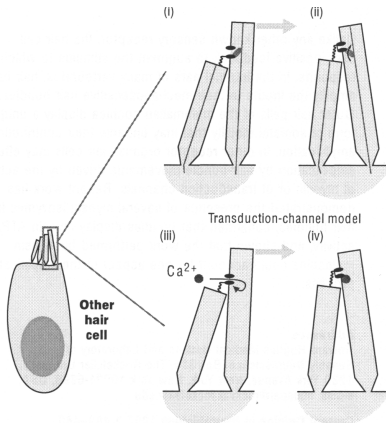
Mechanismus bisher nicht exakt bekannt. Modelle:

A Aktive Oszillation der Haarzelle als Ganzes



- Anregung der Stereozilien
- Polarisation der Zelle
- Elongation bzw. Kontraktion

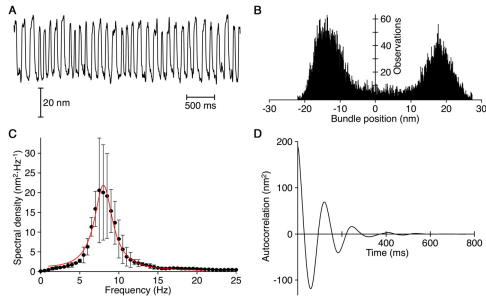
B Aktive Oszillation der Stereozilien



- Stereozilien werden ausgelenkt
- Ionenkanal wird geöffnet
- Motor in Stereozilien regt Bewegung an

Im folgenden wird auf dieses zweite Modell eingegangen.

Spontane Oszillationen



Beobachtung in vitro: **Stereozilien oszillieren spontan**
Ist diese Oszillation ein aktiver Prozess?

Einfaches mathematisches Modell

Mittlere Auslenkung der Stereozilien

$$\langle X(t) \rangle = \int_{-\infty}^t \chi(t-t') f(t') dt' \quad (18)$$

mit $f(t)$ externe Kraft, $\chi(t)$ lineare Antwortfunktion des Systems.

Die Autokorrelationsfunktion $C(t)$ der Auslenkung ist gegeben als

$$C(t) = \langle X(t+t_0)X(t_0) \rangle \quad (19)$$

- Passive Prozesse erfüllen Dissipations-Fluktuationen Theorem (DFT)
- Verletzung des DFT ist Hinweis auf aktiven Prozess

DF-Theorem

Fluktuationseigenschaften eines Prozesses stehen in direkter Relation zu seiner linearen Antwortfunktion

Für die spontanen Oszillationen lautet das DFT

$$-k_B T \chi(t) = \frac{dC(t)}{dt} \quad (20)$$

oder nach Fourier-Transformation von $C(t)$

$$\tilde{C}(\omega) = 2k_B T \frac{\text{Im}(\tilde{\chi}(\omega))}{\omega} \quad (21)$$

Nach T aufgelöst erhält man

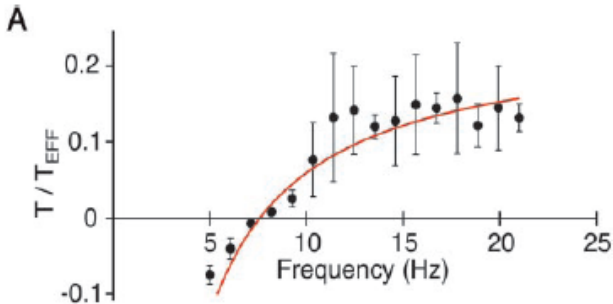
$$T = \frac{\omega \tilde{C}(\omega)}{2k_B \text{Im}(\tilde{\chi}(\omega))} =: T_{\text{eff}}(\omega) \quad (22)$$

Wenn $T_{\text{eff}}(\omega) = T_{\text{env}}$ für alle ω , so ist das DFT erfüllt.

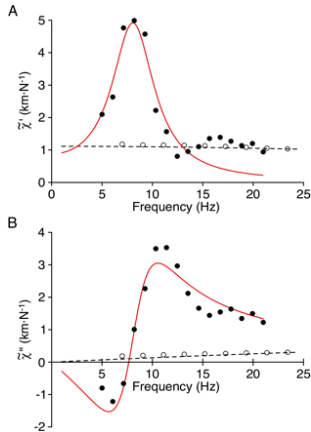
Definiere **Maß für Abweichung von DFT**:

$$\epsilon = \frac{T_{\text{eff}}(\omega)}{T_{\text{env}}} = \frac{\omega \tilde{C}(\omega)}{2k_B T \text{Im}(\tilde{\chi}(\omega))} \quad (23)$$

Im Experiment wurde ϵ für verschiedene ω ermittelt.



- ⇒ Signifikante Abweichung von $\epsilon = 1$ wurde festgestellt
- ⇒ **Oszillation muss aktiver Prozess sein!**



Imaginärteil der Antwortfunktion hat
negativen Bereich
⇒ Dissipation ist bereichsweise
negativ
⇒ **Aktiver Prozess**

Modell für Bewegung der Stereozilien

Annahme: Zwei krafterzeugende Mechanismen

- Federkraft an Drehpunkten der Stereozilien

$$F_{sp} = K_{sp} \cdot x \quad (24)$$

- Kraft durch "Gating Springs"

$$F_{gs} = K_{gs} \cdot \left(x - x_a - \frac{d}{\gamma} p_0 \right) \quad (25)$$

Differentialgleichungen

Dynamik der Haarbündelposition

$$\lambda \frac{dx(t)}{dt} = -F_{gs}(t) - F_{sp}(t) + F_{ext} + \eta \quad (26)$$

mit λ Reibungskoeffizient, η stochastische Störung.

Dynamik der Molekularmotoren

$$\lambda_a \frac{dx_a(t)}{dt} = F_{gs}(t) - F_0 + \eta_a \quad (27)$$

mit F_0 mittlere Kraft der Motoren,

$$F_0 = \gamma N_a F_m \rho(C) \quad (28)$$

Dynamik der Ca^{2+} Konzentration

$$\tau \frac{dC(t)}{dt} = C_0 - C(t) + C_M P_0 + \eta_C \quad (29)$$

mit

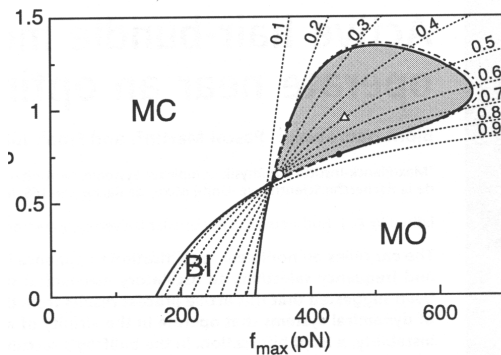
τ Relaxationszeit

C_0 Gleichgewichtskonzentration bei geschlossenen Kanälen

C_M Maximale Konzentration

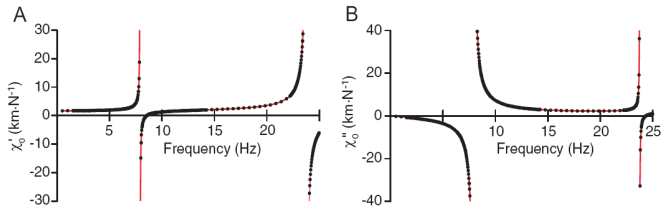
P_0 Öffnungsw'keit für Ionenkanal.

Simuliertes Zustandsdiagramm ohne Rauschen



- (Bi-)Stabile Bereiche
- Oszillatorischer Bereich
- Übergang durch Hopf-Bifurkation

Ergebnis ohne Fluktuationen



- Antwortfunktion zeigt Singularitäten
- Nicht vereinbar mit Experiment

⇒ Simulation mit Fluktuationen besser?

Stärke der Fluktuationen

Wie groß müssen die Fluktuationsterme in den DGL gewählt werden?

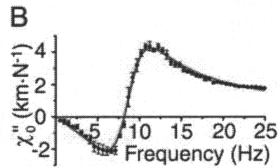
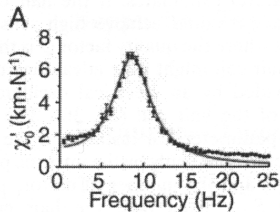
Theoretische Überlegungen liefern in erster Näherung:

$$\langle \eta(t)\eta(0) \rangle = 2k_B T \lambda \delta(t) \quad (30)$$

$$\langle \eta_a(t)\eta_a(0) \rangle = 2k_B \frac{3}{2} T \lambda_a \delta(t) \quad (31)$$

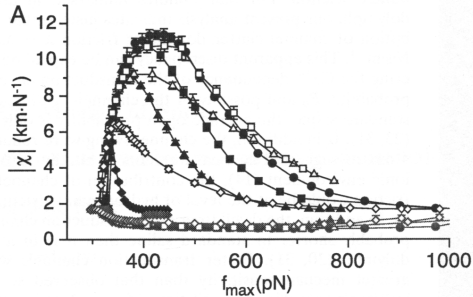
$$\langle \eta_c(t)\eta_c(0) \rangle = 2C_M^2 \frac{1}{N} P_0(1 - P_0) \tau_c \delta(t) \quad (32)$$

Simulation mit Fluktuationen



⇒ Experimentelle Daten bestätigen das Modell

Sensitivitäten für kleine bzw. große Anregungen:



⇒ Verstärkung der Größenordnung 10!

Zusammenfassung

- Im Ohr findet aktive Verstärkung schwacher Signale statt
- Dadurch hohe Frequenzselektivität und großer Dynamikumfang
- Fluktuationen scheinen dabei eine Rolle zu spielen
- Die Prozesse sind noch lange nicht vollständig verstanden